

04; 09

© 1991 г.

## РЕЗОНАНСНОЕ ПРЕОБРАЗОВАНИЕ ПОЛЯРИЗАЦИИ ЭЛЕКТРОМАГНИТНОЙ ВОЛНЫ В ИЗОТРОПНОЙ ПЛАЗМЕННОЙ ПЛЕНКЕ

*М. И. Бакунов, С. Н. Жуков*

Указан эффект сильного преобразования поляризации электромагнитной волны в тонкой по сравнению с длиной волны пленке изотропной плазмоподобной среды (в частности, полупроводниковой) в условиях плазменного резонанса. Исследованы режимы преобразования как в уединенной пленке, так и в пленке на идеально проводящей подложке. Обсуждаются возможности управления преобразованием волны, а также влияние фактора неоднородности пленки.

1. В связи с задачами разработки новых элементов СВЧ микроэлектроники и интегральной оптики в работах [1, 2] был рассмотрен эффект сильного преобразования поляризации электромагнитной волны в тонкой по сравнению с длиной волны пленке гиротропной плазмоподобной среды (в частности, полупроводниковой), реализующийся при выполнении в пленке условий плазменного резонанса. Существенно, что резонансный характер эффекта обеспечивает возможность эффективного управления преобразованием падающей на пленку волны путем относительно малого изменения внешнего магнитного поля либо концентрации носителей в пленке (например, за счет инжекции или ионизации).

Как показано в настоящей работе, упрощенный вариант эффекта может быть реализован и в изотропной плазменной пленке. И хотя при этом несколько сокращаются возможности преобразования, а также теряется канал управления по магнитному полю, в некоторых случаях этот вариант может быть более предпочтительным, так как не требует затрат на подмагничивание пленки. Ниже исследованы режимы резонансного преобразования поляризации электромагнитной волны как в уединенной изотропной плазменной пленке, так и в слоистой структуре типа плазменной пленки на идеально проводящей (металлической) подложке. Рассмотрено влияние на эффект фактора неоднородности пленки.

Ранее резонансные свойства изотропных плёнок исследовались применительно к задачам экранирования [3, 4] и поглощения [5–10] электромагнитных волн.

2. Пусть произвольно поляризованная электромагнитная волна вида  $E(x, y, t) = E_0 \exp(i\omega t - ik_0 \cos \theta x - ik_0 \sin \theta y)$ ,  $k_0 = \omega/c$ ,  $E_0$  — комплексный вектор, падает под углом  $\theta$  на однородную плазменную пленку  $|x| \leq d/2$ , характеризуемую диэлектрической проницаемостью  $\epsilon = \epsilon_L - i\nu$ , где

$$\epsilon_0 = \epsilon_L \left(1 - \frac{\omega_p^2}{\omega^2}\right), \quad \nu = \epsilon_L \frac{\nu_{\text{eff}}}{\omega} \frac{\omega_p^2}{\omega^2}, \quad (1)$$

$\omega_p$  — плазменная частота пленки,  $\nu_{\text{eff}}$  — эффективная частота соударений носителей ( $\nu_{\text{eff}} \ll \omega$ ),  $\epsilon_L$  — диэлектрическая проницаемость кристаллической решетки (для газовой плазмы  $\epsilon_L = 1$ ).

Считается, что пленка тонкая

$$k_0 d \ll 1 \quad (2)$$

и в ней выполнено условие плазменного резонанса

$$|\epsilon| \ll 1, \quad (3)$$

предполагающее малость параметров частотной отстройки от резонанса ( $|\epsilon_0| \ll 1$ ) и поглощения ( $\nu \ll 1$ ).

Принимая во внимание, что  $TE$ - и  $TM$ -составляющие падающей волны взаимодействуют с пленкой независимо друг от друга, причем резонансное разбужение электрического поля в пленке испытывает только  $TM$ -составляющая, и пренебрегая малыми членами порядка  $k_0 d$  и выше, можно получить следующие формулы для компонент амплитуд электрического поля отраженной и прошедшей волн (см. также [7, 10]):

$$\begin{aligned} E_{ry} &= -E_{0y} \frac{\delta \sin^2 \theta / \cos \theta}{2 - \delta \sin^2 \theta / \cos \theta}, \quad E_{rs} = 0, \\ E_{ty} &= E_{0y} \frac{2}{2 - \delta \sin^2 \theta / \cos \theta}, \quad E_{tz} = E_{0z}. \end{aligned} \quad (4)$$

Здесь

$$\delta = \frac{i k_0 d}{\epsilon_0 - i \nu} \quad (5)$$

— параметр, характеризующий резонансные свойства плазменной пленки.

В соответствии с формулами (4)  $TE$ -составляющая падающей волны проходит сквозь пленку практически без изменений. То же относится и к  $TM$ -составляющей в случае, когда плазменный резонанс в пленке подавлен за счет частотной отстройки или соударений, т. е. когда  $|\epsilon_0 - i \nu| \gg k_0 d$  и  $|\delta| \ll 1$  (влияние пленки при этом становится заметным лишь для скользящих углов падения  $\pi/2 - \theta \leq |\delta|$ ). Если же  $|\epsilon_0 - i \nu| \leq k_0 d$ , то даже в очень тонких пленках параметр  $\delta$  не является малым, вследствие чего реализуются сильное (вплоть до полного при  $|\delta| \sin^2 \theta / \cos \theta \rightarrow \infty$ ; ср. с [3]) резонансное отражение  $TM$ -составляющей при  $\pi/2 - \theta \sim 1$ , а также существенный сдвиг фазы  $E_{ty}$  по отношению к  $E_{0y}$ . При этом, очевидно, поляризации вторичных волн сильно отличаются от поляризации падающей волны (кроме особых случаев, когда падает волна  $TE$ - или  $TM$ -типа).

Для того чтобы преобразование волны не сопровождалось резонансным поглощением энергии в пленке, параметр  $\delta$  должен быть либо чисто мнимым, либо очень большим ( $|\delta| \sin^2 \theta / \cos \theta \gg 1$ ). Это условие, согласно формуле (5), сводится к требованию слабости соударений  $\nu \ll k_0 d$ .

Из формул (1), (4), (5) видно, что делением мощности падающей волны между вторичными волнами и преобразованием ее поляризации можно эффективно управлять путем изменения входящего в  $\delta$  параметра расстройки  $\epsilon_0$ , например, при фиксированной частоте  $\omega$  за счет относительно малого изменения величины  $\omega_p$  (концентрации носителей в пленке).

С уменьшением  $|\epsilon_0|$  (т. е. с увеличением  $|\delta|$ ) относительная доля отражаемой пленкой мощности  $R = |E_{ry}|^2 / (|E_{0y}|^2 + |E_{0z}|^2 \cos^2 \theta)$  возрастает практически от нуля при  $|\delta| \sin^2 \theta / \cos \theta \ll 1$  до максимального значения

$$R_{\max} = \frac{|E_{0y}|^2}{|E_{0y}|^2 + |E_{0z}|^2 \cos^2 \theta}, \quad (6)$$

определенного характером поляризации падающей волны, в пределе  $|\delta| \sin^2 \theta / \cos \theta \gg 1$ . Поляризация отраженной волны при этом остается фиксированной — линейной  $TM$ -типа. Доля прошедшей мощности  $T = (|E_{ry}|^2 + |E_{tz}|^2 \cos^2 \theta) / (|E_{0y}|^2 + |E_{0z}|^2 \cos^2 \theta)$ ,  $T = 1 - R$  спадает соответственно от 1 до минимального значения  $T_{\min} = 1 - R_{\max}$ . Поляризация же прошедшей волны меняется от поляризации падающей волны (при  $|\delta| \sin^2 \theta / \cos \theta \ll 1$ ) через эллиптическую к линейной  $TE$ -типа (при  $|\delta| \sin^2 \theta / \cos \theta \gg 1$ ).

Так, в случае падающей циркулярно поляризованной волны с  $E_{0y} = \pm i E_{0z} \cos \theta$  в пределе  $|\delta| \sin^2 \theta / \cos \theta \gg 1$  от пленки симметрично расходятся вторичные волны равной амплитуды, поляризованные линейно во взаимно перпенди-

кулярных плоскостях ( $TM$ - и  $TE$ -типа). Такой же предельный режим реализуется и в случае падения на пленку линейно поляризованной волны с  $E_{0y} = \pm E_{0z} \cos \theta$  (вектор  $E_0$  направлен под углом  $\pm \pi/4$  к плоскости падения  $x, y$ ).

3. Более эффективного преобразования поляризации, причем без деления мощности волны, можно достичь, поместив плазменную пленку на идеально проводящую (металлическую) подложку (при  $x=d/2$ ). Компоненты амплитуды отраженной от такой структуры волны с точностью до членов порядка  $k_0 d$  имеют вид (см. также [9, 10])

$$E_{ry} = E_{0y} \frac{\delta \sin^2 \theta / \cos \theta + 1}{\delta \sin^2 \theta / \cos \theta - 1}, \quad E_{rz} = -E_{0z}. \quad (7)$$

Как видно из (7), путем подбора резонансного параметра  $\delta$  можно добиться любого фазового сдвига между компонентами  $E_{ry}$ ,  $E_{rz}$  и, следовательно, произ-

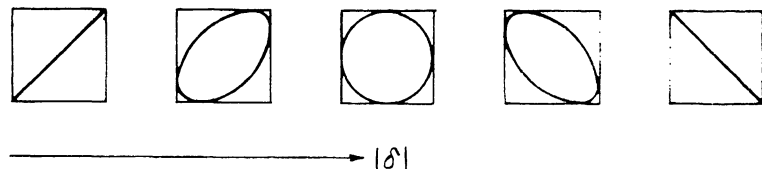


Рис. 1. Поляризационные диаграммы отраженной волны в случае падающей линейно поляризованной волны с  $E_{0y} = -E_{0z} \cos \theta$  при различных значениях модуля резонансного параметра  $\delta$ .

Величина  $|\delta|$  возрастает слева направо (показано стрелкой) от 0 до  $\infty$ . Направление вращения вектора  $E$  определяется знаком  $\epsilon_0$ .

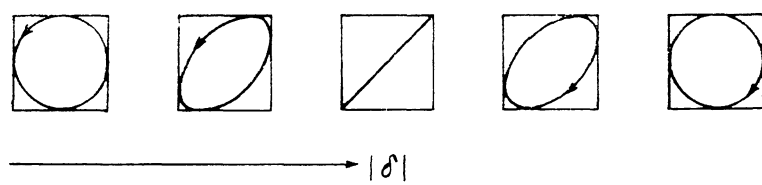


Рис. 2. Поляризационные диаграммы отраженной волны в случае падающей циркулярно поляризованной волны с  $E_{0y} = -iE_{0z} \cos \theta$  при различных значениях  $|\delta|$  и  $\epsilon_0 < 0$ .

Величина  $|\delta|$  возрастает слева направо (показано стрелкой) от 0 до  $\infty$ .

вольной (но, конечно, вписанной в прямоугольник со сторонами  $2|E_{0z}|$ ,  $2|E_{0y}| \cos^{-1} \theta$ ) поляризационной диаграммы отраженной волны.

Если, например, падающая волна поляризована линейно с  $E_{0y} = \pm E_{0z} \cos \theta$ , то поляризация отраженной волны с увеличением  $|\delta|$  (т. е. с уменьшением  $|\epsilon_0|$ ) плавно изменяется (рис. 1) от линейной с  $E_{ry} = \pm E_{rz} \cos \theta$  при  $|\delta| \sin^2 \theta / \cos \theta \ll 1$  через эллиптическую к круговой при  $|\delta| \sin^2 \theta / \cos \theta = 1$  (направление вращения вектора  $E$  определяется знаком  $\epsilon_0$ ) и далее снова через эллиптическую к линейной с  $E_{ry} = \mp E_{rz} \cos \theta$  при  $|\delta| \sin^2 \theta / \cos \theta \gg 1$ .

Как известно, при отражении циркулярно поляризованной волны (с  $E_{0y} = \pm iE_{0z} \cos \theta$ ) от металлического экрана направление вращения вектора  $E$  в ней меняется на обратное (если, как принято, смотреть навстречу волне), что и имеет место в рассматриваемой системе при  $|\delta| \sin^2 \theta / \cos \theta \ll 1$ . С увеличением же  $|\delta|$  поляризация отраженной волны изменяется (рис. 2) через эллиптическую к линейной (с  $E_{ry} = \mp E_{rz} \cos \theta \sin \epsilon_0$ ) при  $|\delta| \sin^2 \theta / \cos \theta = 1$ , а затем через эллиптическую снова к круговой при  $|\delta| \sin^2 \theta / \cos \theta \gg 1$ , но уже с противоположным направлением вращения вектора  $E$  ( $E_{ry} = \mp iE_{rz} \cos \theta$ ).

При необходимости формулы (7) позволяют найти условия реализации и других более сложных режимов преобразования поляризации падающей волны (поворота и деформации эллипса поляризации, преобразования эллиптической поляризации в линейную и т. д.).

4. Формулы (4), (7) для амплитуд вторичных волн остаются справедливыми и в случае слоисто неоднородной плазменной пленки с  $\epsilon(x)$ . Только теперь в качестве резонансного параметра  $\delta$  вместо (5) нужно использовать выражение

$$\delta = ik_0 \int_{-d/2}^{d/2} \frac{dx}{\epsilon(x)}. \quad (8)$$

В модели степенных профилей диэлектрической проницаемости в области плазменного резонанса  $\epsilon(x) = \pm(x/l)^n + \epsilon_0 - iv$ , где  $n=1, 2, 3, \dots, l \leq d/2$ , интеграл (8) вычислен и исследован в [10, 11]. Отметим некоторые его свойства применительно к рассматриваемой здесь задаче.

Для шатообразных профилей  $\epsilon(x)$  ( $n \gg \pi$ ) интеграл (8) сводится (с точностью до малых членов  $\sim \pi/n$ ) к выражению (5), и все изложенное выше для однородных пленок остается в силе.

Пленки с линейным профилем  $\epsilon(x)$  ( $n=1$ ) интереса не представляют, поскольку параметр  $\delta$  в них мал ( $|\delta| \sim k_0 l \ll 1$ ) и к тому же не может быть чисто мнимым, так что заметное преобразование волны возможно лишь при скользящем наледении ( $\pi/2 - \theta \leq k_0 l$ ) и сопровождается резонансным поглощением энергии в пленке (см. также [5]).

Если  $n > 1$  и  $n \sim \pi$ , то в слоях с перегибом профиля  $\epsilon(x)$  ( $n$  нечетное) при любом соотношении  $\epsilon_0$  и  $v$  действительная часть резонансного параметра  $\delta$  не является малой ( $|Re \delta| \geq |Im \delta|$ ), что влечет за собой сильное резонансное поглощение волны. В слоях с ямкой или горбом профиля  $\epsilon(x)$  ( $n$  четное) условие отсутствия резонансного поглощения  $|Re \delta| \ll |Im \delta|$  сводится к неравенству  $\pm \epsilon_0 \gg v$ , накладывающему ограничение (в отличие от случая однородного слоя) и на знак параметра расстройки  $\epsilon_0$ . При выполнении последнего неравенства параметр  $\delta$  принимает вид

$$\delta = \pm i \frac{2k_0 l}{|\epsilon_0|^{(n-1)/n}} \frac{\pi/n}{\sin(\pi/n)},$$

характеризуемый более слабой, чем в однородном слое, зависимостью от  $\epsilon_0$ .

Таким образом, в пленках с сильно неоднородным профилем  $\epsilon(x)$  ( $n \leq \pi$ ) возможности беспоглощающего управления резонансного преобразования падающей волны значительно снижаются.

5. Рассмотренные выше закономерности позволяют сделать вывод о перспективности разработки на их основе тонкопленочных (управляемых) элементов на плазменном резонансе, которые могут применяться, например, в качестве модуляторов, согласующих устройств, элементов деления мощности, трансформаторов и анализаторов поляризации электромагнитного излучения различных диапазонов частот (от СВЧ до оптического в зависимости от плазменной частоты используемой пленки). Наиболее пригодными для использования в элементах на плазменном резонансе представляются пленки с хорошей степенью однородности и как можно более низким отношением  $\nu_{eff}/\omega_p$ .

### Список литературы

- [1] Бакунов М. И., Жуков С. Н. // Письма в ЖТФ. 1990. Т. 16. Вып. 1. С. 69–72.
- [2] Бакунов М. И., Жуков С. Н. // Волны и дифракция-90. М.: Физическое общество, 1990. Т. 2. С. 75–77.
- [3] Кондратьев И. Г., Миллер М. А. // Изв. вузов. Радиофизика. 1964. Т. 7. № 1. С. 124–134. Там же. 1968. Т. 11. № 6. С. 885–899.
- [4] Жибулин В. А., Макаров Г. И. // Проблемы дифракции и распространения волн. Л.: ЛГУ, 1974. Вып. 13. С. 119–137. Там же. 1978. Вып. 16. С. 57–80.
- [5] Долгополов В. В., Омельченко А. Я. Препринт ХФТИ АН УССР. № 72-35. Харьков, 1972. 9 с.
- [6] Godwin R. P. // Phys. Rev. Lett. 1972. Vol. 28. N 2. P. 85–87.
- [7] Сахаров А. С. Препринт ФИАН. № 190. М., 1979. 16 с.
- [8] Котов А. К. // Физика плазмы. 1985. Т. 11. № 5. С. 629–632.
- [9] Бакунов М. И., Сорокин Ю. М. // Физика плазмы. 1988. Т. 14. № 3. С. 375–379.
- [10] Бакунов М. И., Сорокин Ю. М. // Опт. и спектр. 1989. Т. 66. Вып. 3. С. 692–696.
- [11] Бакунов М. И., Сорокин Ю. М. // Физика плазмы. 1989. Т. 15. № 1. С. 24–32.